

# MODI - sprawozdanie z pracy domowej

Jakub Sikora, 283418

10 marca 2018

Politechnika Warszawska  
Wydział Elektroniki i Technik Informacyjnych

## Spis treści

<b>1</b>	<b>Wstęp</b>	<b>3</b>
<b>2</b>	<b>Charakterystyki nieliniowe</b>	<b>3</b>
2.1	Modele nieliniowe . . . . .	3
2.2	Wykresy charakterystyk . . . . .	3
2.2.1	Model SISO . . . . .	4
2.2.2	Model MISO . . . . .	5
<b>3</b>	<b>Linearyzacja charakterystyk</b>	<b>6</b>
3.1	Linearyzacja funkcji . . . . .	6
3.2	Linearyzacja modelu SISO . . . . .	6
3.3	Linearyzacja modelu MISO . . . . .	7
<b>4</b>	<b>Charakterystyki zlinearyzowane a punkty pracy</b>	<b>8</b>
4.1	Linearyzacje modelu SISO . . . . .	8
4.1.1	Punkt pracy $\bar{u} = -3$ . . . . .	8
4.1.2	Punkt pracy $\bar{u} = -1$ . . . . .	9
4.1.3	Punkt pracy $\bar{u} = 3$ . . . . .	10
4.2	Linearyzacje modelu MISO . . . . .	11
4.2.1	Punkt pracy $(\bar{u}_1, \bar{u}_2) = (0, 0)$ . . . . .	11
4.2.2	Punkt pracy $(\bar{u}_1, \bar{u}_2) = (1, -1)$ . . . . .	12
4.2.3	Punkt pracy $(\bar{u}_1, \bar{u}_2) = (1, 1)$ . . . . .	13
<b>5</b>	<b>Wnioski</b>	<b>14</b>
<b>6</b>	<b>Dodatkowe informacje</b>	<b>14</b>

## 1 Wstęp

Tematem pracy domowej były charakterystyki statyczne nieliniowe modeli o 1 wejściu i jednym wyjściu (model SISO - Single Input Single Output) a także o 2 wejściach i 1 wyjściu (model MISO - Multiple Input Single Output). Dodatkowo, celem zadania było również zlinearyzowanie danych charakterystyk w dowolnych punktach pracy i porównanie wyników eksperymentu.

## 2 Charakterystyki nieliniowe

### 2.1 Modele nieliniowe

Model statyczny procesu o jednym wejściu  $u$  oraz jednym wyjściu  $y$  dany jest wzorem:

$$y(u) = \cos^2(0,25u) - 0,01u^3 - 0,02 \quad (1)$$

Silną nieliniowość wnoszą tutaj funkcje  $(\cos(0.25u))^2$  oraz  $0.01u^3$ . Model ten będę badać w zakresie  $-5 \leq u \leq 5$ .

Model statyczny procesu o dwóch wejściach  $u_1$  i  $u_2$  oraz jednym wyjściu dany jest wzorem:

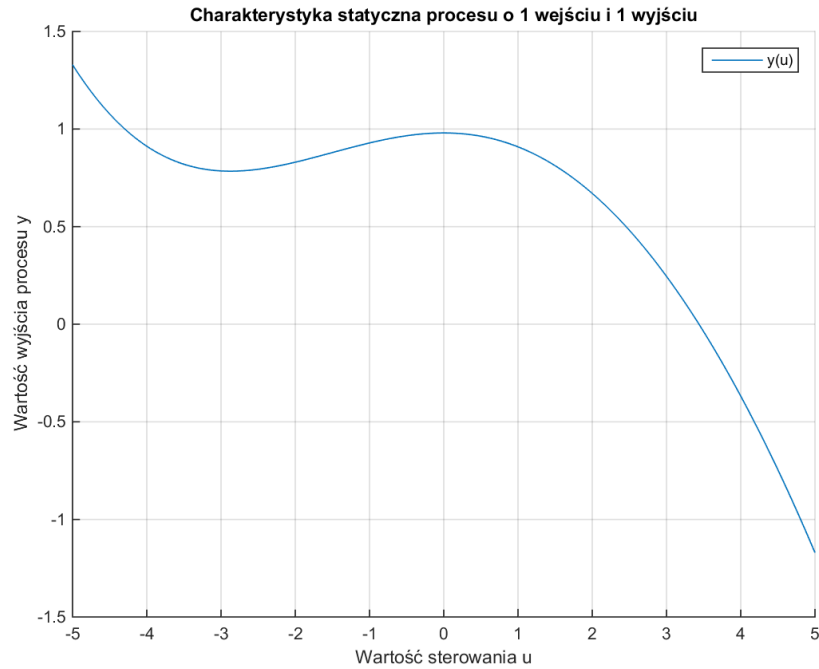
$$y(u_1, u_2) = -10u_1 + 5u_2^3 \quad (2)$$

Elementem wnoszącym nieliniowość jest wyrażenie  $5u_2^3$ . Ten model będę badać w zakresach  $-1 \leq u_1 \leq 1$  oraz  $-1 \leq u_2 \leq 1$ .

### 2.2 Wykresy charakterystyk

Za pomocą środowiska `Matlab`, wykreśliłem charakterystyki obu modelu w odpowiednich zakresach. Kod generujący wykresy obu charakterystyk zawarty jest w skrypcie `nonlinear_figures.m`. Efekt pracy znajduje się na następnej stronie.

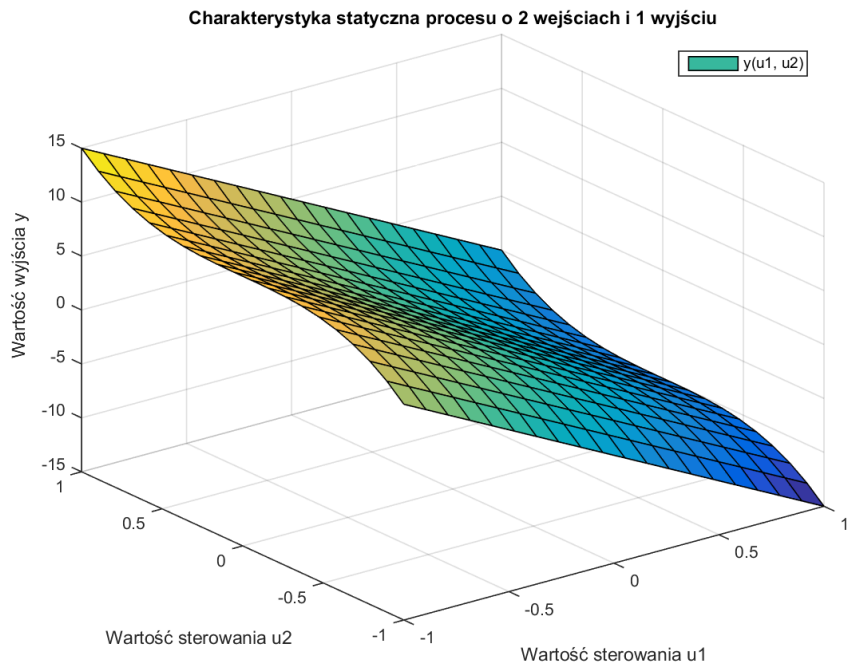
### 2.2.1 Model SISO



Rysunek 1: Charakterystyka modelu SISO

Niebieską linią zaznaczono charakterystykę modelu w zakresie  $-5 \leq u \leq 5$ . W danym przedziale funkcja ma dwa ekstrema w punktach  $u = 0$  oraz  $u \approx -2.8738$ , które wpływają na nieliniowość funkcji. Dodatkowo, funkcja szybko maleje w przedziale  $[2, 5]$  (moduł pochodnej jest większy niż w innych miejscach).

### 2.2.2 Model MISO



Rysunek 2: Charakterystyka modelu MISO

Na wykresie nakreślono charakterystykę modelu w zakresie  $-1 \leq u_1, u_2 \leq 1$ . Model przy zmianie sterowania  $u_1$  zachowuje się linio-wo. Wynika to z braku elementów nieliniowych w funkcji modelu zależnych od  $u_1$ . Przy zmianie  $u_2$  odpowiedź ma już charakter nieliniowy związany z funkcją  $5u_2^3$ . W zadanych przedziałach funkcja osiąga największą wartość dla  $(u_1, u_2) = (-1, 1)$  równą 15.

### 3 Linearyzacja charakterystyk

W celu umożliwienia dokładniejszej analizy procesu danego modelem nieliniowym, taki model poddaje się linearyzacji w punkcie pracy. Przybliżenie funkcji modelu, funkcją liniową pozwala na zastosowanie dobrze sprawdzonych metod analizy i projektowania. W przypadku słabo nieliniowych funkcji, metoda ta ma dużą dokładność. Niestety, metoda ta traci na dokładności gdy funkcja jest silnie nieliniowa. W takim przypadku najlepiej podzielić interesujący nas przedział pracy na kilka podprzedziałów i każdemu przypisać odpowiednią funkcję liniową. Na wykresie, charakterystyka liniowa jest po prostu styczną do wykresu charakterystyki nieliniowej.

#### 3.1 Linearyzacja funkcji wielu zmiennych

W ogólności wzór na linearyzację w otoczeniu punktu pracy  $\bar{u} = (\bar{u}_1, \dots, \bar{u}_n)$ :

$$y(u_1, \dots, u_n) \approx y(\bar{u}) + \frac{\partial y(\bar{u})}{\partial u_1}(u_1 - \bar{u}_1) + \dots + \frac{\partial y(\bar{u})}{\partial u_n}(u_n - \bar{u}_n) \quad (3)$$

W przypadku funkcji jednej zmiennej wzór sprowadza się do postaci:

$$y(u) \approx y(\bar{u}) + \frac{dy(\bar{u})}{du}(u - \bar{u}) \quad (4)$$

W przypadku modelu z dwoma wejściami i jednym wyjściem wzór przyjmuje formę:

$$y(u_1, u_2) \approx y(\bar{u}_1, \bar{u}_2) + \frac{\partial y(\bar{u}_1, \bar{u}_2)}{\partial u_1}(u_1 - \bar{u}_1) + \frac{\partial y(\bar{u}_1, \bar{u}_2)}{\partial u_2}(u_2 - \bar{u}_2) \quad (5)$$

#### 3.2 Linearyzacja modelu SISO

W celu wyznaczenia modelu zlinearyzowanego należy policzyć pochodną funkcji  $y(u)$ .

$$\frac{dy(u)}{du} = ((\cos(0, 25u))^2 - 0,01u^3 - 0,02)'$$

Rozbijam pochodną sumy na sumę pochodnych:

$$\frac{dy(u)}{du} = (\cos^2(0, 25u))' - (0,01u^3)' - (0,02)'$$

Obliczam poszczególne pochodne ze wzoru na pochodną funkcji złożonej:

$$\frac{dy(u)}{du} = \frac{1}{2}\cos(0, 25u)(-\sin(0, 25u) - 0,03u^2)$$

Wyrażenie z funkcjami trygonometrycznymi sprowadzam do uproszczonej postaci, korzystając ze wzoru na sinus podwojonego kąta:

$$\frac{dy(u)}{du} = -\frac{1}{4}\sin(0, 5u) - 0,03u^2$$

Ostateczna postać zlinearyzowanej funkcji modelu ma postać:

$$y_{lin}(u) \approx \cos^2(0,25\bar{u}) - 0,01\bar{u}^3 - 0,02 + [-\frac{1}{4}\sin(0,5\bar{u}) - 0,03\bar{u}^2](u - \bar{u}) \quad (6)$$

### 3.3 Linearyzacja modelu MISO

W celu wyznaczenia modelu zlinearyzowanego należy policzyć pochodne cząstkowe funkcji  $y(u_1, u_2)$  czyli  $\frac{\partial y(u_1, u_2)}{\partial u_1}$  i  $\frac{\partial y(u_1, u_2)}{\partial u_2}$ .

Obliczam pochodną cząstkową po  $\partial u_1$ :

$$\frac{\partial y(u_1, u_2)}{\partial u_1} = \frac{\partial}{\partial u_1}(-10u_1 + 5u_2^3)$$

$$\frac{\partial y(u_1, u_2)}{\partial u_1} = -10$$

Obliczam pochodną cząstkową po  $\partial u_2$ :

$$\frac{\partial y(u_1, u_2)}{\partial u_2} = \frac{\partial}{\partial u_2}(-10u_1 + 5u_2^3)$$

$$\frac{\partial y(u_1, u_2)}{\partial u_2} = 15u_2^2$$

Ostateczna postać zlinearyzowanej funkcji modelu:

$$y_{lin}(u) \approx -10\bar{u}_1 + 5\bar{u}_2^3 - 10(u_1 - \bar{u}_1) + 15\bar{u}_2(u_2 - \bar{u}_2) \quad (7)$$

## 4 Charakterystyki zlinearyzowane a punkty pracy

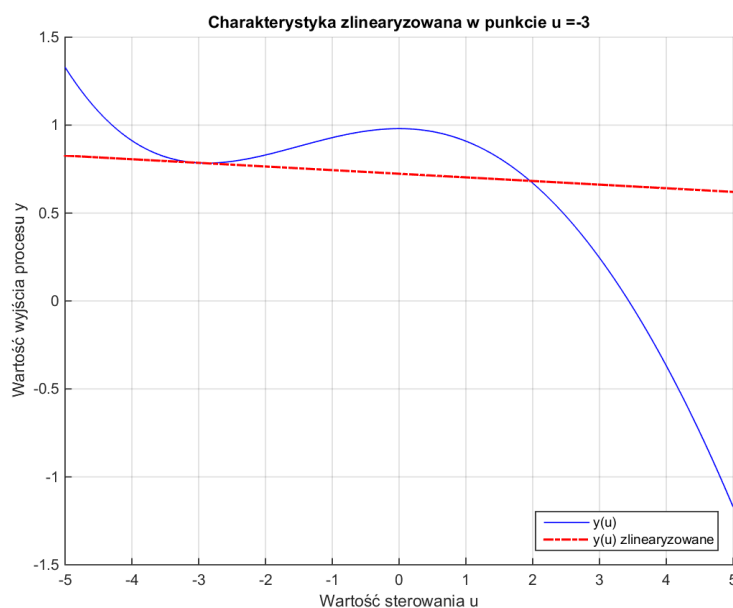
Charakterystyki zlinearyzowane obliczyłem ponownie za pomocą środowiska Matlab. Skrypt odpowiedzialny za kreślenie charakterystyk modelu o jednym wejściu nazywa się `SISO_linear_figures.m`, natomiast skrypt zajmujący się kreśleniem charakterystyk modelu o dwóch wejściach ma nazwę `MISO_linear_figures.m`.

### 4.1 Linearyzacje modelu SISO

W zależności od doboru punktu pracy, charakterystyki zlinearyzowane różnią się nachyleniem. W ogólności punkt pracy wybierany jest tak aby obiekt opisywany modelem, pracował optymalnie. W przypadku tego zadania, dobrałem trzy punkty pracy tak, aby nachylenia prostych charakterystyk różniły się jak najbardziej.

Dobre punkty pracy:  $\bar{u}_1 = -3$ ,  $\bar{u}_2 = -1$ ,  $\bar{u}_3 = 3$

#### 4.1.1 Punkt pracy $\bar{u} = -3$

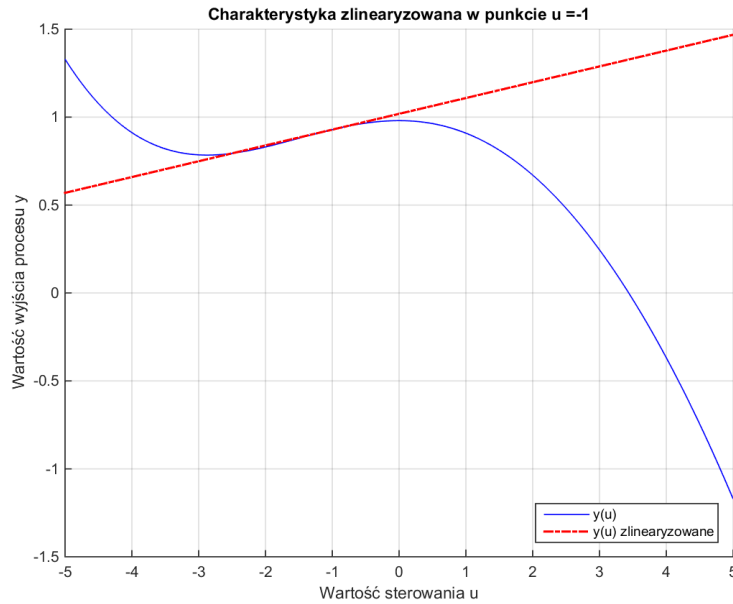


Rysunek 3: Charakterystyka zlinearyzowana modelu SISO w punkcie pracy  $\bar{u} = -3$

Przy doborze punktu pracy blisko ekstremum lokalnego, charakterystyka zlinearyzowana przypomina funkcję stałą. Taka linearyzacja bardzo słabo linearyzuje model na zadanym przedziale.



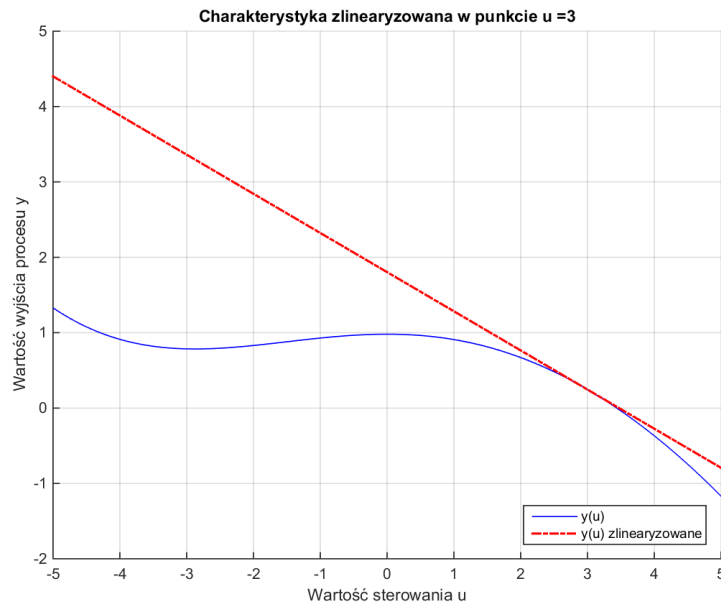
#### 4.1.2 Punkt pracy $\bar{u} = -1$



Rysunek 4: Charakterystyka zlinearyzowana modelu SISO w punkcie pracy  $\bar{u} = -1$

Dobór punktu pracy  $\bar{u} = -1$  dobrze przybliża oryginalną funkcję w przedziale  $[-3, 0]$ , jednak w pozostałych fragmentach znacznie odbiega od oryginalnej funkcji. Warto zwrócić uwagę że funkcja liniowa jest na całym przedziale rosnąca, choć funkcja nieliniowa w ogólności jest malejąca, oprócz zakresu między ekstremami  $[-2, 8738; 0]$ .

#### 4.1.3 Punkt pracy $\bar{u} = 3$



Rysunek 5: Charakterystyka zlinearyzowana modelu SISO w punkcie pracy  $\bar{u} = 3$

Ostatnim wybranym przeze mnie punktem pracy jest punkt  $\bar{u} = 3$ . Taka linearyzacja dobrze przybliża charakterystykę nieliniową w zakresie  $[1, 5]$ . Z powodu ujemnej wartości pochodnej w punkcie  $\bar{u} = 3$ , charakterystyka liniowa szybko maleje wraz ze wzrostem argumentu. Tempo malenia funkcji liniowej jest większe niż funkcji oryginalnej, czego wynikiem jest duża rozbieżność wartości charakterystyk w lewej części wykresu.

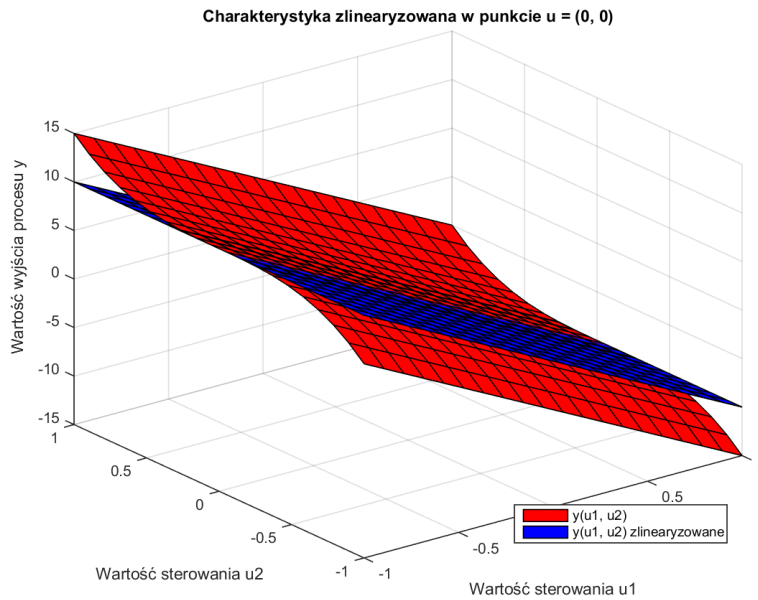
## 4.2 Linearyzacje modelu MISO

W przypadku dwuwymiarowym punkty pracy są w ogólności wektorami a charakterystyki zlinearyzowane z stycznych, stają się płaszczyznami. W przypadku tego zadania, dobrałem trzy punkty pracy tak, aby nachylenia tych płaszczyzn różniły się jak najbardziej oraz aby ukazać różnice między charakterystykami.

Dobre punkty pracy:

$$(\bar{u}_1, \bar{u}_2) = (0, 0); (\bar{u}_1, \bar{u}_2) = (1, -1); (\bar{u}_1, \bar{u}_2) = (-1, -1).$$

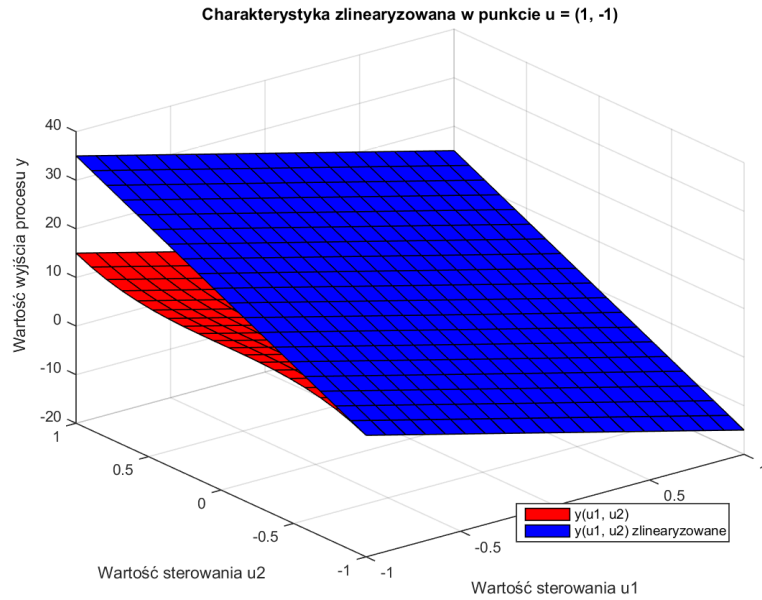
### 4.2.1 Punkt pracy $(\bar{u}_1, \bar{u}_2) = (0, 0)$



Rysunek 6: Charakterystyka zlinearyzowana modelu MISO w punkcie pracy  $(\bar{u}_1, \bar{u}_2) = (0, 0)$ .

W przypadku doboru punktu pracy w ekstremum funkcji nieliniowej, otrzymana płaszczyzna bardzo dobrze przybliża oryginalny nieliniowy model. Dodatkowo w osi  $u_1$ , charakterystyka zlinearyzowana w dużej mierze pokrywa się z modelem nieliniowym. Wynika to z liniowego charakteru funkcji zależnej od  $u_1$ .

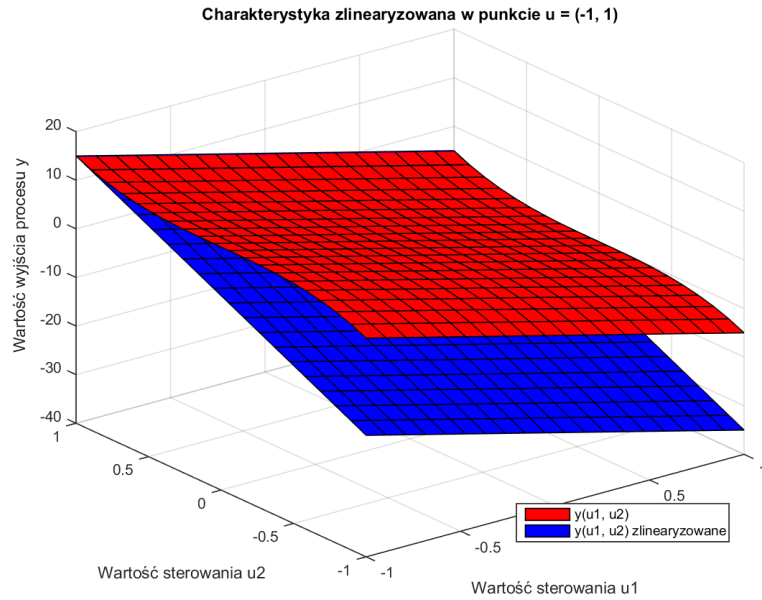
#### 4.2.2 Punkt pracy $(\bar{u}_1, \bar{u}_2) = (1, -1)$



Rysunek 7: Charakterystyka zlinearyzowana modelu MISO w punkcie pracy  $(\bar{u}_1, \bar{u}_2) = (1, -1)$ .

W przypadku punktu pracy równego  $(\bar{u}_1, \bar{u}_2) = (1, -1)$ , uzyskana charakterystyka liniowa mocno odbiega od oryginalnej charakterystyki nieliniowej. Mocno widoczna jest rozbieżność najwyższych wartości. Dla funkcji nieliniowej jest ona równa 15, a dla funkcji liniowej wynosi aż 35.

### 4.2.3 Punkt pracy $(\bar{u}_1, \bar{u}_2) = (1, 1)$



Rysunek 8: Charakterystyka zlinearyzowana modelu MISO w punkcie pracy  $(\bar{u}_1, \bar{u}_2) = (1, 1)$ .

W przypadku punktu pracy znajdującego się po drugiej stronie osi  $OY$  wykresu  $(\bar{u}_1, \bar{u}_2) = (1, 1)$ , obserwowalna jest symetryczna sytuacja w stosunku do poprzedniego punktu pracy. Tym razem wartości największe są zgodne, jednak tym razem wartości minimalne znacznie odbiegają od siebie.

## 5 Wnioski

Linearyzacja funkcji nieliniowych jest bardzo przydatnym narzędziem w analizie modeli, jest również niezbędna przy projektowaniu układów regulacji automatycznej. Należy przy tym pamiętać że linearyzacja funkcji nieliniowej wiąże się z utratą dokładności, dlatego warto wziąć pod uwagę że linearyzacja jest operacją lokalną i że można podzielić docelowy przedział na kilka podprzedziałów i tam dokonać lokalnego przybliżenia funkcją liniową.

## 6 Dodatkowe informacje

Wszystkie obliczenia i wykresy zostały zrealizowane za pomocą pakietu **Matlab**. Do sprawozdania dołączam wszystkie pliki źródłowe, z dokładnymi opisami w postaci komentarzy. Aby zrealizować wszystkie obliczenia po raz kolejny należy uruchomić skrypt **execute.m** i postępować zgodnie z poleceniami wypisywanymi na konsoli. Skrypt wywoła odpowiednie funkcje obliczające charakterystyki nieliniowe i liniowe, wygeneruje wykresy dla podanych wcześniej punktów pracy i zapisze je do folderu **figures**.